

Fig. 103. Epidot. Prismatisch.  $a \{100\}$ ;  $c \{001\}$ ;  $o \{111\}$ ;  $r \{101\}$ .

Fig. 104. Realgar. Prismatisch.  $b \{010\}$ ;  $c \{001\}$ ;  $o \{111\}$ ;  $p \{110\}$ ;  $f \{210\}$ ;  $n \{011\}$ .

Fig. 105. Kupfersulfattrihydrat. Domatisch.  $p \{110\}$ ;  $p' \{1\bar{1}0\}$ ;  $o \{111\}$ ;  $s \{111\}$ ;  $r \{021\}$ .

Fig. 106. Milhzucker. Sphenoidisch.  $a \{100\}$ ;  $b \{010\}$ ;  $b' \{0\bar{1}0\}$ ;  $p \{110\}$ ;  $p' \{1\bar{1}0\}$ ;  $q' \{0\bar{1}1\}$ .  $p$ ,  $p'$  und  $q'$  sind Sphenoide.

Fig. 107. Stereographische Projektion der Fig. 102.

### Rhombisches System.

Fig. 108 gibt den Urbauteil, die Achsenausstiche und die Hauptzonen wieder.  $A$  (100),  $B$  (010),  $C$  (001). Ausstich von  $a$  in  $a$ , von  $b$  in  $b$ , von  $c$  in  $c$ ;  $1$  in Zone der Achse  $a$ ,  $2$  in Zone der Achse  $b$ ,  $3$  in Zone der Achse  $c$ ,  $4$  beliebig.

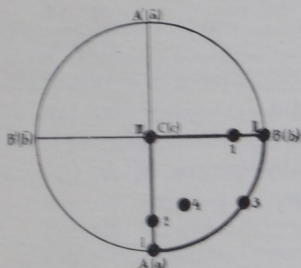


Fig. 108. Urbauteil des rhombischen Systems.

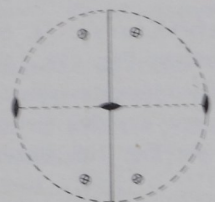


Fig. 109. Erzeugende Symmetrie der rhombisch-bipyramidalen Klasse ( $2m$ ).

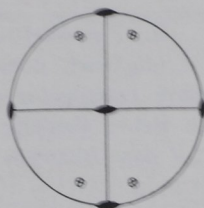


Fig. 110. Allgemeines rhombisch-bipyramidales Bauschema.

I. Bipyramidale Klasse. 5. Stufe. Erzeugende Symmetrie  $2m$  (digyrisch prismatisch) Fig. 109. Volle Symmetrie Fig. 110. Entsprechend Fig. 110 sind die sieben Gestaltstypen aus den sieben Punktlagen  $A$ ,  $B$ ,  $C$ ,  $1$ ,  $2$ ,  $3$ ,  $4$  des Urbauteils der Fig. 108 abzuleiten.

a) Flächen zwei Achsen parallel.

A. Erstes Pinakoid  $\{100\}$ . Fig. 111.

B. Zweites Pinakoid  $\{010\}$ . Fig. 112.

C. Drittes Pinakoid  $\{001\}$ . Fig. 113.

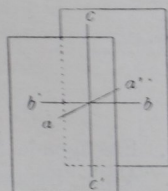


Fig. 111. I. Pinakoid.

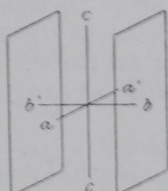


Fig. 112. II. Pinakoid.

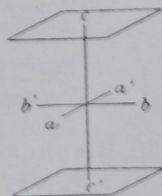


Fig. 113. III. Pinakoid.